

$$(6) \quad \sum_{j=1}^4 M_{ij} X_j = V_i \quad i = 1, 2, 3 \text{ e } 4$$

onde é a unidade imobiliária. A partir destas condições de controlo o sistema a ser resolvido será:

$$\mu(2\phi, xz - \chi_{zz} + \chi_{xx}) = i \cdot \ln k \frac{\frac{1-\phi}{\phi}}{\frac{x - \chi_z}{\chi_x + \chi_z}} \text{sen rs} \quad (8)$$

E considerando que o artigo é do tipo viscoso [1-  
near [4], [6] onde se destaca a constante de adesão  $\Phi$   
que é um número adimensional que varia de 0 a 1.  
sem arrito na interface] a 1 (solidos rigidamente conge-  
tados). tem-se entao:

d) Modelo de Atrito na Interface --  $c_{zx} = 1$  --

$$(L) \quad x_i^e x + z_i^e \phi = x^e x + z^e \phi$$

$$(9) \quad (\chi_{+}^{XX}, \chi_{+}^{ZZ}, \chi_{-}^{ZX}, \phi_Z)_{\text{rf}} = (\chi_{+}^{XX}, \chi_{+}^{ZZ}, \chi_{-}^{ZX}, \phi_Z)_{\text{rf}}$$

metatrade de tenses cissimilates -- o<sub>xz</sub> = o<sub>xz</sub> --

• [View Details](#) | [Edit](#) | [Delete](#) | [Print](#)

onde é eu sao as constantes de Lame.

$$+ 2\mu_1 (\phi_i^{zz} + \chi_i^{zx}) \quad (5)$$

$$+ \left( {}^{ZZ} \chi \phi + {}^{XX} \chi \phi \right) \chi = \left( {}^{ZX} \chi \chi + {}^{ZZ} \chi \phi \right) \chi + \left( {}^{ZZ} \phi \phi + {}^{XX} \chi \phi \right) \chi$$

Introduçade de Tensões Normais --  $\sigma_{zz} = \sigma_z^z$  --

onde  $A_0$ ,  $A_1$  e  $A_2$  são as amplitudes das ondas P;  $B_1$  e  $B_2$  as das onda SV.  $m_e$ ,  $m_s$  são os coeficientes de amortecimento da onda S e da onda SV, respectivamente.  $k = \omega/c$  é o número de onda na direção x,  $w$  é a frequência e  $\alpha$  é a velocidade de fase da onda na direção x,  $\beta$  é a direção do eixo z. Além disso a  $= \cot \theta$  é a  $\sin \theta$ ,  $b = \cot \theta$  é a  $\cos \theta$  e  $a = \cot \theta$  é a  $\tan \theta$ . As equações de contorno de  $\partial \Omega$  e as condições de contorno de  $\partial \Omega$  são dadas na figura 5.

$$X_i = B_2 e^{-\frac{1}{2} \sum_{j \neq i} \text{seu}_j t_j} (B_1 z - x) e^{ik(B_1 z - x + ct)} \quad (4)$$

$$\phi_r = A^2 e^{-\mu \cos \theta p_z (a_z - x)} e^{-i k(a_z - x + ct)}$$

$$(2) \quad \text{e}^{\frac{1}{2} \ln x} = \sqrt{x}$$

$$(I) \quad \text{and} \quad (II) \quad \text{are} \quad \text{equivalent}.$$

$$+ \alpha_m \operatorname{sen} x p(-az-x) \operatorname{ik}(-az-x+ct)$$

os variados polímeros que se representan por:

E adotando metade atingiu a propagação de ondas eletromagnéticas do tipo P ao atingiritem a antena de separação de dosselidos. A onda de retorno do intervalo de onda como um complexo faz com que, as ondas, seja intoduzido o amortecimento. Isto torna a rede no campo de trabalho de ondas isolados. A constadevantagem é que não é necessário uma estrutura metálica para suportar a antena.

---

**SUMARIO**

Fig. 5-Tensão Normal no contorno para  $\omega = 10^3$  Hz.

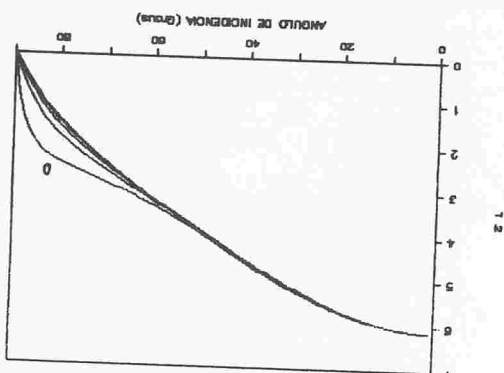


Fig. 4-Tensão Cízalhante no contorno para  $\omega = 10^3$  Hz.

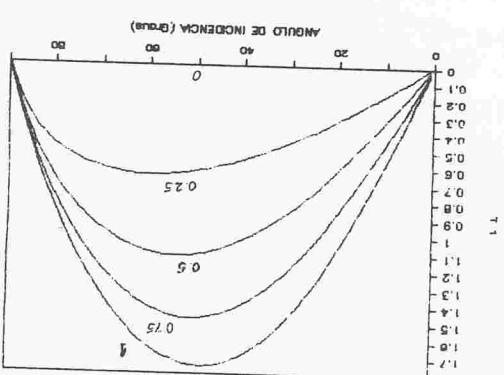


Fig. 3-Onda SV refletida para  $\omega = 10^3$  Hz.

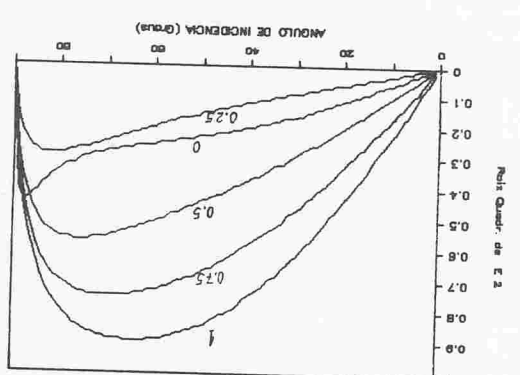
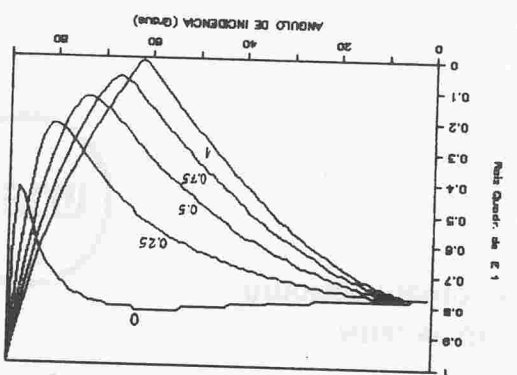


Fig. 2-Onda P refletida em fungo do anel de incidência para  $\omega = 10^3$  Hz.



rem no contorno. As Figuras 4 e 5 mostram as tensões que ocorrem nas saídas São muito pequenas e os gráficos não servem para apresentar as energias das ondas transversais sao multiplas das ondas longitudinais que ocorrem no contorno.

As Figuras 2 e 3 apresentam o comparação das variações das ondas efundidas do ângulo de incidência que fazem parte da figura 2 e 3.

onde  $K_1 = 1$ ,  $K_2 = b/a$ ,  $K_3 = p_{1a}/p_a$  e  $K_4 = p_{1b}/p_a$ .

$$E_j = \sqrt{K_j} X_j, \quad j = 1, 2, 3 \text{ e } 4 \quad (10)$$

Em vez de serem plotadas as amplitudes obtidas por [3], [5].

Por apresentar a razão quadrada das energias das variações em relação à incidente. Estas expressões são das ondas por considerar a razão quadrada das energias das variações por considerar a razão quadrada das energias das ondas por [3], [5].

O sistema de equações acima foi resolvido admitin-

## RESULTADOS

$$X_1 = A_1/A_0, \quad X_2 = B_1/A_0, \quad X_3 = A_2/A_0 \text{ e } X_4 = B_2/A_0$$

$$\cdot (m \operatorname{sen} \theta - ik) e^{im \operatorname{sen} \theta x}$$

$$V_4 = \{2a(1-\phi)(m \operatorname{sen} \theta - ik) + ik\phi/\operatorname{sen} \theta s\} \cdot$$

$$V_3 = a(m \operatorname{sen} \theta - ik) e^{im \operatorname{sen} \theta x}$$

$$V_2 = 2y a(m \operatorname{sen} \theta - ik)^2 e^{im \operatorname{sen} \theta x}$$

$$V_1 = -y(b^2 - 1)(m \operatorname{sen} \theta - ik)^2 e^{im \operatorname{sen} \theta x}$$

$$M_{44} = ik\phi b(m \operatorname{sen} \theta s - ik) e^{im \operatorname{sen} \theta x}/\operatorname{sen} \theta s$$

$$M_{43} = ik\phi(b(m \operatorname{sen} \theta p - ik) e^{im \operatorname{sen} \theta x}/\operatorname{sen} \theta s$$

$$\cdot (m \operatorname{sen} \theta s - ik) e^{im \operatorname{sen} \theta x}$$

$$M_{42} = \{-(b^2 - 1)(m \operatorname{sen} \theta s - ik) + ik\phi/\operatorname{sen} \theta s\} \cdot$$

$$(m \operatorname{sen} \theta p - ik) e^{im \operatorname{sen} \theta p x}$$

$$M_{41} = \{2a(1-\phi)(m \operatorname{sen} \theta s - ik) - ik\phi/\operatorname{sen} \theta s\} \cdot$$

$$M_{34} = -(m \operatorname{sen} \theta s - ik) e^{im \operatorname{sen} \theta x}$$

$$M_{33} = a(m \operatorname{sen} \theta p - ik) e^{im \operatorname{sen} \theta x}$$

$$M_{32} = (m \operatorname{sen} \theta s - ik) e^{im \operatorname{sen} \theta x}$$

$$M_{31} = a(m \operatorname{sen} \theta p - ik) e^{im \operatorname{sen} \theta p x}$$

$$M_{24} = (b^2 - 1)(m \operatorname{sen} \theta s - ik)^2 e^{im \operatorname{sen} \theta s x}$$

$$M_{23} = 2a(m \operatorname{sen} \theta p - ik)^2 e^{im \operatorname{sen} \theta p x}$$

$$M_{22} = -y(b^2 - 1)(m \operatorname{sen} \theta s - ik)^2 e^{im \operatorname{sen} \theta s x}$$

$$M_{21} = 2y a(m \operatorname{sen} \theta p - ik)^2 e^{im \operatorname{sen} \theta p x}$$

$$M_{14} = 2b(m \operatorname{sen} \theta s - ik)^2 e^{im \operatorname{sen} \theta s x}$$

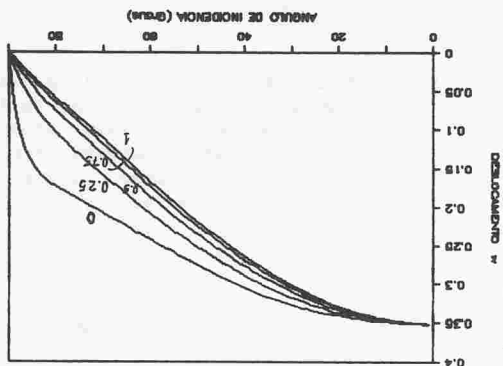
$$M_{13} = -(b^2 - 1)(m \operatorname{sen} \theta p - ik)^2 e^{im \operatorname{sen} \theta p x}$$

$$M_{12} = 2y(b(m \operatorname{sen} \theta p - ik)^2 e^{im \operatorname{sen} \theta p x}$$

$$M_{11} = y(b^2 - 1)(m \operatorname{sen} \theta p - ik)^2 e^{im \operatorname{sen} \theta p x}$$

$$\text{onde } (H/H_0 = \gamma) :$$

Fig. 12 - O deslocamento  $w$  em função do ângulo de incidência para  $\omega = 10^3 \text{ Hz}$ .



As proximas duas figuras mostram o deslocamento  $w$  normal à superfície de contato, em função do ângulo de incidência e a profundidade da interface. Pode-se ver que a intensidade da reflexão é dividida por  $(m - k_r)$ . Pode-se imaginar, assim, que a intensidade da reflexão é dividida por  $m$ , que é a razão entre a intensidade da onda incidente e a intensidade da onda refletida.

Fig. 11 - Com o aumento da frequência a reflexão é dividida. Pode-se ver que a intensidade da reflexão é dividida por  $(m - k_r)$ .

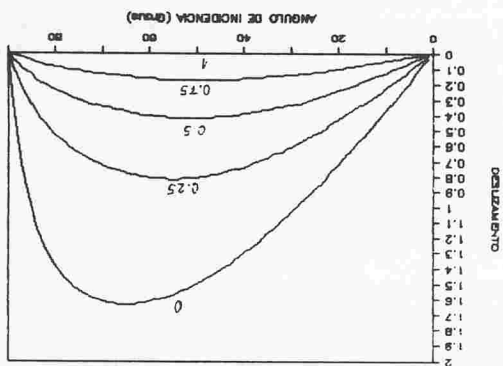
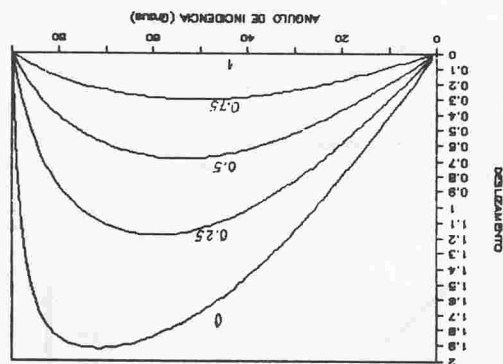


Fig. 10 - Deslizamento localizado na interface de contato dos sólidos para  $\omega = 10^3 \text{ Hz}$ .



As Figuras 10 e 11 mostram o deslizamento na interface, que diminui com o aumento da frequência. Beste mente é apresentado dividido por  $A_0$  ( $m - k_r$ ) onda de número de onda da onda P incidente.

Fig. 9 - Onda SV transmitida para  $\omega = 10^6 \text{ Hz}$ .

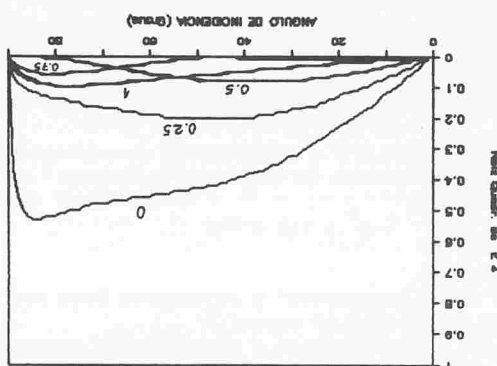


Fig. 8 - Onda P transmitida para  $\omega = 10^6 \text{ Hz}$ .

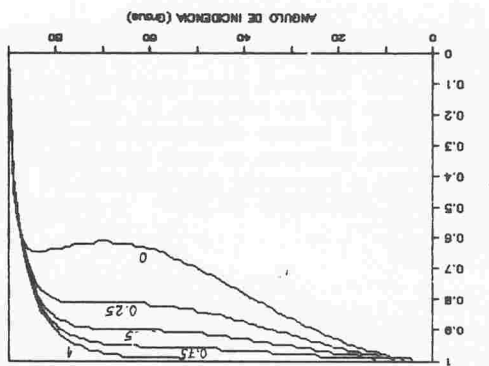


Fig. 7 - Onda SV refletida para  $\omega = 10^6 \text{ Hz}$ .

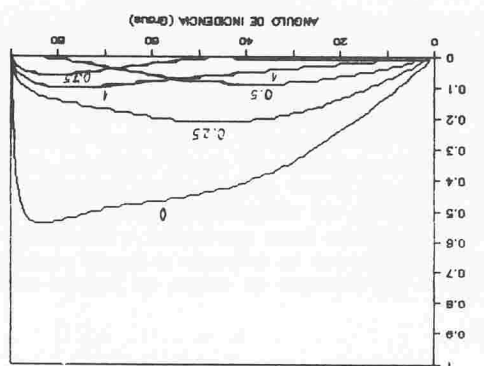
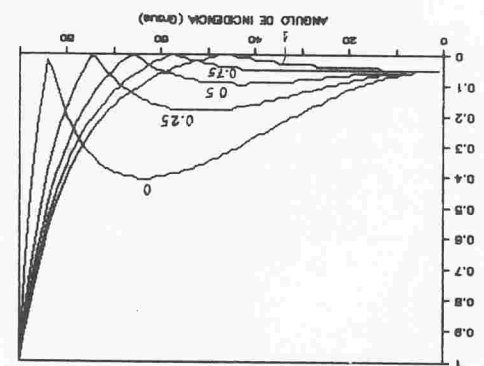


Fig. 6 - Onda P refletida para  $\omega = 10^6 \text{ Hz}$ .



As Figuras 6, 7, 8 e 9 mostram o comportamento das variáveis ondas agora para  $\omega = 10^6 \text{ Hz}$ . Em especial no caso um sensível aumento no poder de penetragem das ondas variadas que diminui com o aumento da frequência. Nas Figuras 6 e 7, as ondas P refletidas e transmitidas para a interface, que diminui com o aumento da frequência. Nas Figuras 8 e 9, as ondas SV refletidas e transmitidas para a interface, que diminui com o aumento da frequência.

In this paper we present the study of P wave when it reaches the interface of separation of two solidas. The consideration of wave number as a complex number introduces damping in the waves. In this case the frequency becomes a variable that strongly affects the phenomenon, the total reflection is not considered.

## ABSTRACT

- [6] ALVES, M., BARCELLOS, C.S., ANALISE DE ONDAS ELASTICAS SH, COM E SEM AMORTECIMENTO, EM INTERFACES DIFERENTES AS ONDAS ELASTICAS COM AMORTECIMENTO, DISERTACAO DE MESTRADO, UFSC, 1987.
- [5] ALVES, M., O METODO DA LINEARIZAGAO EQUIVALENTE A FACE DE TWO HALF SPACES, GEOPHYSICS J.R. ASTR. SOC., VOL. 44, PP. 389-404, 1976.
- [4] MURTY, G.S., REFLECTION, TRANSMISSION AND ATTENUATION OF ELASTIC WAVES AT A LOOSELY-BONDED INTERFACE, JOURNAL OF GEOPHYSICS, 1976.
- [3] EWING, W.M., JARDETZKY, W.S., WAVES IN LAYERED MEDIA, 1a ed., ACADEMIC PRESS, 1973.
- [2] GRAFF, K.F., WAVE MOTION IN ELASTIC SOLIDS, 1a ed., OHIO STATE UNIVERSITY PRESS, pp. viii - 380, 1957.
- [1] BREKHOVSKIKH, L.M., WAVES IN LAYERED MEDIA, 2a ed., ACADEMIC PRESS, pp. vi - 503, 1980.

## REFERENCIAS

Pelo que foi apresentado é possível concluir que a fundamental para descrever mais precisamente o fenômeno. A frequência surge como uma variável do problema e o seu aumento faz com que aumente o poder de penetração das ondas transmitidas ao meio II. Ela também influí no deslocamento localizado dos sólidos na interface como resultado de efeitos de fissuras [6].

O efeito de fissões faz com que o grau de aderência das solides influia no deslocamento normal. Isto é mais evidente para ondas de baixa frequência.

Quanto mais levantante os sólidos estando conectados maior é o deslocamento normal. Isto é mais evidente para ondas de baixa frequência.

## CONCLUSÕES

Fig. 13- Deslocamento w para  $\omega = 10^6 \text{ Hz}$ .

A constante de adesão influí menos que no caso anterior.

